

На правах рукописи



**Окуневич Всеволод Станиславович**

**МАТЕМАТИЧЕСКОЕ МОДЕЛИРОВАНИЕ ЭФФЕКТИВНЫХ  
УПРУГИХ СВОЙСТВ ПОРОД ДОМАНИКОВОЙ ФОРМАЦИИ С  
ИСПОЛЬЗОВАНИЕМ ТЕОРИИ ЭФФЕКТИВНЫХ СРЕД**

1.6.9. Геофизика

**АВТОРЕФЕРАТ**

диссертация на соискание ученой степени

кандидата технических наук

Москва 2025

Работа выполнена в Федеральном государственном бюджетном учреждении науки Институте физики Земли им. О. Ю. Шмидта РАН.

<b>Научный руководитель:</b>	<b>Баюк Ирина Олеговна</b> доктор физико-математических наук, главный научный сотрудник лаборатории “Фундаментальных проблем нефтегазовой геофизики и геофизического мониторинга” Федерального государственного бюджетного учреждения науки Института физики Земли им. О.Ю. Шмидта Российской академии наук.
<b>Официальные оппоненты:</b>	
<b>Ведущая организация:</b>	

Защита диссертации состоится \_\_\_\_\_ 2025 г. в \_\_ часов на заседании Диссертационного совета 24.1.132.01, созданного на базе Федерального государственного бюджетного учреждения науки Института физики Земли им. О.Ю. Шмидта РАН, по адресу 123242, г. Москва, ул. Большая Грузинская, д. 10, стр. 1, конференц-зал.

С диссертацией можно ознакомиться в библиотеке ИФЗ РАН и на сайте института [www.ifz.ru](http://www.ifz.ru). Автореферат размещен на официальном сайте Высшей аттестационной комиссии при министерстве образования и науки Российской Федерации [vak.ed.gov.ru](http://vak.ed.gov.ru) и на сайте ИФЗ РАН.

Отзывы на автореферат, заверенные печатью, в 2-х экземплярах направлять по адресу: 123242, Москва, Большая Грузинская ул., д. 10, стр. 1, ИФЗ РАН, ученому секретарю диссертационного совета Жосткову Руслану Александровичу.

Автореферат разослан «\_\_\_»\_\_\_\_\_ 2025 г.

Ученый секретарь диссертационного совета,  
кандидат физико-математических наук

Р.А. Жостков

## **Актуальность темы исследования**

В настоящее время во всем мире растут объем разведочных работ и добычи горючих полезных ископаемых, особенно, жидких – нефти. По данным интернет-портала министерства энергетики США с 2020 по 2023 год общий объем добычи нефти в мире увеличился с 93,818 МБ/сут до 101,821 МБ/сут. Восстановления экономик большинства развитых стран неотъемлемо связано с промышленностью и сферой энергетики. Жидкие углеводороды помимо источника энергии являются важным химическим сырьем, использующимся во многих отраслях хозяйственной деятельности человека.

Большинство традиционных месторождений уже открыто и эксплуатируется. Поддерживать рост объемов добычи и разведки только за счёт традиционных месторождений становится с каждым годом труднее, поэтому, в настоящее время, наибольший интерес вызывают месторождения с нетрадиционными коллекторами нефти и газа. Проблема поиска и добычи нефти из низкопористых и малопроницаемых коллекторов основная задача многих ученых в различных областях геологии нефти и газа.

Одним из самых перспективных типов нетрадиционных коллекторов в нашей стране можно назвать доманиковые отложения Волго-Уральской и Тимано-Печорской нефтегазоносных провинций (НГП). Данные отложения богаты органическим веществом, а также являются нефтематеринскими. Данные отложения могут участвовать в накоплении и миграции жидких углеводородов (УВ). Надежные знания о физических и геологических свойствах таких пород необходимы для их поиска и увеличении объемов добычи нефти из уже известных месторождений с подобным типом коллекторов УВ. Под геологическими свойствами в данной работе понимаются свойства, которые характеризуют внутреннее строение исследуемых горных пород, например, форма минеральных включений и пустот, объем пустотного пространства, степень связности некоторых включений, трещинная пористость и др.

## **Степень разработанности темы исследований**

Доманиковые отложения выделены Кайзерлингом в 1845 г. и названы в честь ручья Доманик, который является притоком реки Ухта [Юдович, 1988]. Данные отложения распространены в восточной части русской платформы. Описанию этой формации посвящено множество работ видных ученых: Н.М. Страхова [1939], С.В. Максимовой [1970], М.М. Алиева [1978], Н.В. Беляевой [1998], М.И. Зайдельсона [1990] и др.

Вещество, представляющее наибольший научный и производственный интерес, в составе доманиковых и подобных им отложений, которые относят к нетрадиционному типу коллекторов, является кероген. Его важность обусловлена участием в генерации УВ и их первичной миграции. Кероген является уникальным компонентом в вещественном

составе доманиковых отложений, имея очень контрастные физические свойства, по сравнению со вмещающими горными породами, формирующими толщи доманиковой формации. Влияние керогена и его строения на упругие свойства керогеносодержащих пород рассмотрено в работах иностранных авторов: Yan[2013], Yenugu [2013], Li [2015], Dvorkin [2021]и др.

Для решения различных задач промысловой геофизики при поиске, разведке и эксплуатации месторождений нефти и газа с нетрадиционным типом коллекторов, в частности, и для месторождений доманиковых и подобных им отложений, необходимо проводить разномасштабные геофизические исследования, о чем более подробно будет изложено далее в работе. Основой для этих разномасштабных исследований являются математические модели физических свойств исследуемых горных пород, например, петроупругие модели. На рисунке 1 показано количество опубликованных работ, связанных с петроупругим моделированием нетрадиционных коллекторов. Как видно из графиков, эта область недостаточно изучена на сегодняшний день.

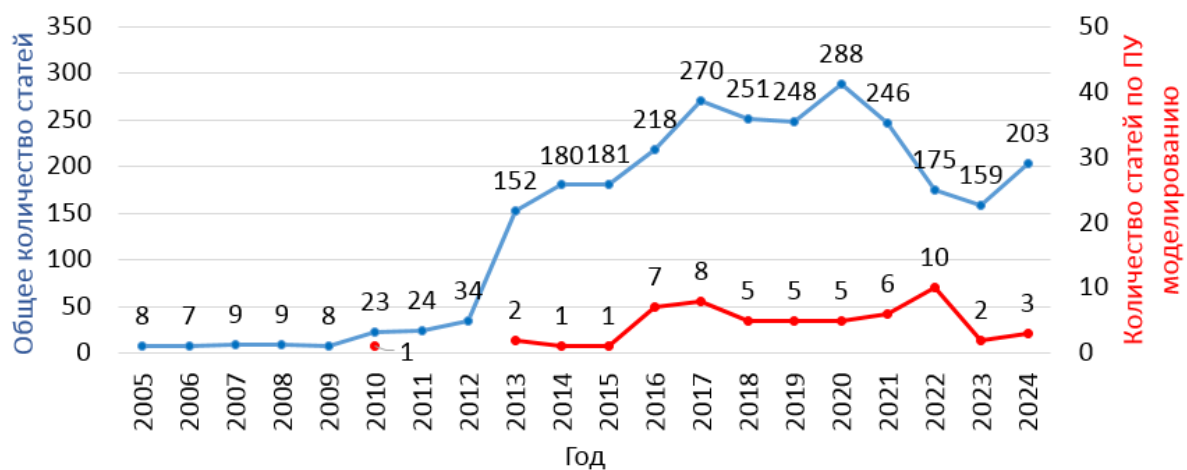


Рис. 1 Количество публикаций по тематике “нетрадиционных” коллекторов в библиотеке SocietyofExplorationGeophysists(SEG) (синий) и по тематике “петроупругого моделирования нетрадиционных коллекторов” в библиотеке SEG и научной электронной библиотеке eLIBRARY.ru.

Петроупругие модели доманиковых пород должны иметь разномасштабный характер, учитывать особенности состава и микроструктуры породы, в частности, степень зрелости керогена, его пористость, степень связности. На настоящий момент таких петроупругих моделей не существует. Зачастую, используют очень простые петроупругие модели, для описания доманиковых и подобных им отложений, с последующим прогнозом упругих свойств. За счет значительной карбонатной составляющей в составе используют модель Шу-Пейна [Xu, Payne, 2009], которая является неким подобием модели Шу-Уайта[Xu, White, 1996], но разработанной для карбонатных пород Нередко

применяют саму модель Шу-Уайта к доманиковым отложениям, хотя эта модель разработана для терригенных пород. Самой простой и распространенной моделью, которая используется на практике, является модель “матрица-включение”[Bergman, 1995], которая не учитывает множество особенностей строение и состава доманиковых и подобных им отложений.

## **Цель работы**

Установление связей между упругими свойствами доманиковых пород и их микроструктурными параметрами для повышения достоверности интерпретации разномасштабных геофизических данных о породах этого типа.

## **Основные задачи исследования**

1. Обобщение результатов петроупругого моделирования, проведенного ранее для базовых моделей пород.
2. Оценка влияния процесса созревания керогена на упругие свойства флюида, образующегося в этом процессе.
3. Создание разномасштабной модели упругих свойств пород доманиковой формации и оценка влияния на них микроструктурных параметров.
4. Учет анизотропии упругих свойств при построении разномасштабных петроупругих моделей пород доманиковой формации, вызванной различными факторами (ориентированными линзами минералов, керогена, ориентированной трещиноватостью – в микромасштабе, слоистостью – в макромасштабе).
5. Применение методики разномасштабного моделирования на примере реальных скважинных данных.

## **Научная новизна работы**

1. Созданы разномасштабные петроупругие модели пород доманиковой формации, учитывающие различные факторы, влияющие на их упругие свойства, которые включают содержание керогена в породе и его пористость, трещиноватость, степень связности включений керогена в породе.
2. На основе результатов петроупругого моделирования показано, что параметр связности керогена в породе имеет большее влияние на эффективные упругие свойства по сравнению с параметром пористости твердого органического вещества, особенно в случае присутствия в породе твердого органического вещества в виде матрицы.
3. На основе результатов моделирования созревания керогена, показана, что степень изменения упругих свойств получаемого флюида оказывает слабое влияние на упругие свойства пород.

4. Исследовано поведение коэффициентов отражения от керогеносодержащего слоя с учетом различных параметров, определяющих упругие свойства доманиковых пород с учетом их анизотропии.

### **Методология и методы исследования**

Методология исследований, проведенных в данной работе, включала в себя несколько последовательных этапов. Первый этап исследования заключался в анализе имеющихся экспериментальных данных об упругих свойствах и микроструктуре пород доманиковых отложений, полученных на основе изучения фото шлифов коллекции образцов и проведения ультразвуковых исследований на представительных образцах. Второй этап работы относился к построению базовых петроупругих моделей эффективных упругих свойств доманиковых отложений в масштабе керна, которое было проведено с помощью методов теории эффективных сред. Последующий, третий, этап работы диссертационного исследования посвящен разномасштабному моделированию упругих свойств керогеносодержащих отложений, для выполнения которого также использовались методы теории эффективных сред. Все этапы математического моделирования и представления полученных результатов в виде графических приложений были реализованы с помощью программ, разработанных лично автором на языке программирования Python 3.0, и в программном обеспечении MicrosoftExcel.

### **Защищаемые научные положения**

1. Содержание керогена в породе, его пористость, степень связности керогена, степень связности пустот являются факторами, существенно влияющими на эффективные упругие свойства доманиковых отложений.
2. Разработанные иерархические петроупругие модели пород доманиковой формации позволяют определять по данным геофизических исследований скважин и АВО-анализа данных сейморазведки такие параметры, как: содержание керогена в породе, его пористость и степень связности.
3. Ориентированные трещины в керогене, линзы минералов и переслаивание керогеносодержащих слоев с карбонатными породами порождают анизотропию упругих свойств доманиковых пород, определяемую методами геофизических исследований скважин и сейсмическими исследованиями.

### **Теоретическая и практическая значимость работы**

Построенные петроупругие модели доманиковых пород и полученные с их помощью закономерности изменения их упругих свойств могут быть использованы для повышения качества интерпретации данных скважинных и наземных сейсмических исследований.

Результаты данного исследования являются основой для создания методики прогноза упругих свойств доманиковых и подобных им отложений на различных масштабах геофизических исследований не только для улучшения качества интерпретации наземных сейсмических исследований, но и для выделения потенциально-перспективных интервалов для добычи горючих полезных ископаемых.

На основе данных, полученных в ходе исследования, создан банк петроупругих моделей. Это данные могут быть использованы в качестве bigdata для моделей машинного обучения и автоматизации процесса интерпретации экспериментальных данных с помощью вычислительных методов.

Созданные анизотропные петроупругие модели доманиковых пород могут быть использованы для создания скоростных моделей, используемых с целью локации микроземлетрясений, возникающих при проведении гидоразрыва пласта.

**Достоверность результатов**, полученных авторов обосновывается следующим.

- 1) В работе использован подход, основанный на методах теории эффективных сред, который на протяжении десятков лет успешно используется в геофизике.
- 2) Построенные автором параметрические петроупругие модели доманиковых пород основаны на результатах экспериментальных работ по измерению скоростей упругих волн на представительных образцах этих пород и определению модулей упругости пористого керогена с учетом степени его зрелости.
- 3) Оценки степени анизотропии упругих свойств доманиковых пород в масштабе геофизических исследований скважин и сейсмических работ, полученные на основе петроупругого моделирования, находятся в интервале значений, наблюдавшихся в эксперименте.

### **Личный вклад автора**

Основные результаты работы, полученные лично аспирантом в ходе проведения исследований, включают: построение петроупругих моделей для имеющихся образцов пород доманиковой формации, основанных на методах теории эффективных сред, и построение на их основе разномасштабных петроупругих моделей пород доманиковых отложений; реализацию этих моделей в виде программного кода на языке Python; проведение параметрических исследований моделей (анализа чувствительности).

### **Апробация работы**

Результаты диссертационной работы были доложены на следующих конференциях: Наука о сланцах 25. Новые данные, г. Москва, Russia, 7-8 апреля 2025; Петромодель / BalticPetroModel 2024. 8-я научно-практическая конференция, г. Петергоф, Russia, 4-6

сентября 2024; 66-я Всероссийская научная конференция МФТИ, секция Прикладная геофизика, 1-6 апреля 2024; Международная геолого-геофизическая конференция и выставка «ГеоЕвразия-2024. Геологоразведочные технологии - наука и бизнес», Москва, Краснопресненская набережная, 12, Центр международной торговли, Russia, 12-14 марта 2024; Научная конференция молодых ученых и аспирантов ИФЗ РАН, 8-9 ноября 2023; Петромодель / BalticPetroModel 2023. 7-я научно-практическая конференция, г. Петергоф, Russia, 18-21 сентября 2023; Наука о сланцах 23. Новый опыт, г. Москва, Russia, 20-22 марта 2023; Научная конференция молодых ученых и аспирантов ИФЗ РАН, 9-11 ноября 2022.

### **Публикации**

Основные научные результаты и положения диссертации опубликованы в 10 научных работах, включая 3 статьи в рецензируемых научных изданиях, рекомендованных ВАК Минобрнауки РФ.

### **Объем и структура работы**

Работа состоит из введения, семиглав, заключения. Содержит 171 страниц текста, 102 рисунков, 13 таблиц, 2 приложения и список литературы из 93 наименований.

### **Благодарности**

Автор выражает искреннюю признательность своему научному руководителю д.ф.-м.н. И.О. Баюк за плотное сотрудничество в течение всегопериода проведения данной работы, за консультации, советы и чуткое отношение, Институту физики Земли РАН за возможность проведения этих исследований и приобретенный опыт работы. Отдельная благодарность к. ф.-м. н. Н.В. Дубине за консультацию и советы в рамках работы, особенно, по вопросам геомеханики, к.т.н. Д.А. Данько за консультацию в вопросах разномасштабного моделирования упругих свойств, д.ф.-м.н. С.А. Тихоцкому, д.ф.-м.н. А.В. Пономареву, д.ф.-м.н. А.Д. Завьялову, д.г.-м.н. Г.А. Калмыкову за проявленный научный интерес и ценные комментарии.

### **Краткое содержание работы**

Во введении обоснована актуальность и цель настоящей диссертационной работы. Затем сформулированы задачи, защищаемые положения, отражены новизна и практическая значимость исследования.

**Первая глава** посвящена литературному обзору объекту исследований – доманиковым отложениям. Рассмотрены разные трактовки отечественных авторов термина “доманиковые отложения”. В результате анализа литературы можно сделать вывод, что под доманиковыми отложениями понимается несколько разных

стратиграфические интервалы, например, это может быть, как отложения только доманикого горизонта верхнего девона, так и целый интервал от верхнего девона франского яруса до нижнего карбона турнейского яруса ( $D_3fr - C_1t$ ), некоторые авторы предлагают объединить все горючие сланцы под термином *доманиоиды* на территории Волго-Уральского и Тимано-Печорского нефтегазоносного бассейна (НГБ)[Юдович, 1988]. С точки зрения данного диссертационного исследования, наибольший научно-промышленный интерес представляют породы, которые имеют в своём составе твердое органическое вещество – кероген. Работа посвящена прежде всего исследованию влияния керогена на эффективные упругие свойства промышленно значимых отложений, распространенных на территории вышеупомянутых НГБ. Поэтому в ходе дальнейшего исследования будет использован термин керогеносодержащие породы доманикого типа.

Вне зависимости от различных трактовок данного термина, все авторы сходятся в том, что это кремнисто-карбонатная горная порода, в которой есть органическое вещество: жидккий флюид (нефть) и кероген.

Далее в главе рассмотрены основные методы получения эффективных упругих свойств и их сравнение. Дается ответ на вопрос, в чем преимущества методов теории эффективных сред и почему именно методы этой теории используется в настоящем исследовании для петроупругого моделирования керогеносодержащих пород доманикого типа. Эти методы можно разделить на две группы: которые учитывают внутреннюю геометрию включений и которые не учитывают. Первая группа методов также называется методами, основанными на вариационных принципах. К таким методам относится, в частности метод Хашина-Штрикмана[Hashin and Shtrikman, 1963] для построения границ, в которых могут находиться модули упругости. Вторая группа методов (учитывающая геометрию включений) основывается на теории динноволнового рассеяния первого порядка, например, методы Кастера-Токсоза [Kuster and Toksoz, 1974] или метод самосогласования Берримана [Berryman, 1980].

В конце главы описана основная цель проведения петроупругого моделирования как способа перехода на больший масштаб исследований – ГИС и наземных исследований. Главными интересующими параметрами исследований являются скорости распространения упругих продольных и поперечных волн, плотность.

**Вторая глава** посвящена начальному этапу исследования – построению базовых петроупругих моделей керогеносодержащих пород доманикого типа. Основой для петроупругого моделирования послужили результаты ультразвуковых (УЗИ), литологопетрографических и геохимических исследований для коллекции образцов керна. По данным УЗИ анизотропия упругих скоростей на масштабе керна выявлена не была.

Используя данные УЗИ, описание шлифов и результаты геохимических исследований была разработана петроупругая модель и рассчитаны эффективные упругие свойства пород с помощью методов теории эффективных сред.

Достоверность предложенной петроупругой модели обосновывалась приемлемым расхождением, не больше 3 % между модельными значениями распространения упругих волн и результатов ультразвуковых исследований.

Завершая построение базовых моделей, основанных на результатах комплекса петрофизических исследований, была построена сейсмогеологическая модель пласта отложений доманикого типа. Используя разработанную базовую петроупругую модель и методы теории эффективных сред, был совершен прогноз изменения эффективных упругих свойств керогеносодержащих пород доманикого типа и переход на масштаб наземных сейсмических исследований в зависимости от изменения объемной концентрации керогена и его пористости, так как это важные свойства керогеносодержащих пород при их поиске и разведке. Переход на масштаб сейсмических исследований заключался в построении синтетических AVO(AVA)-сейсмограмм (рис. 2) для сейсмогеологической модели. Для примера был взят разрез доманиковых отложений Волго-Уральского бассейна [Ступакова, Калмыков, 2017]. Согласно литературным данным, доманиковые отложения залегают между карбонатной постройкой с пористостью 2-3 % сверху и кремнисто-карбонатной толщей с прослойками плотных карбонатов с пористостью также 2-3 %. Данная модель была взята за основу.

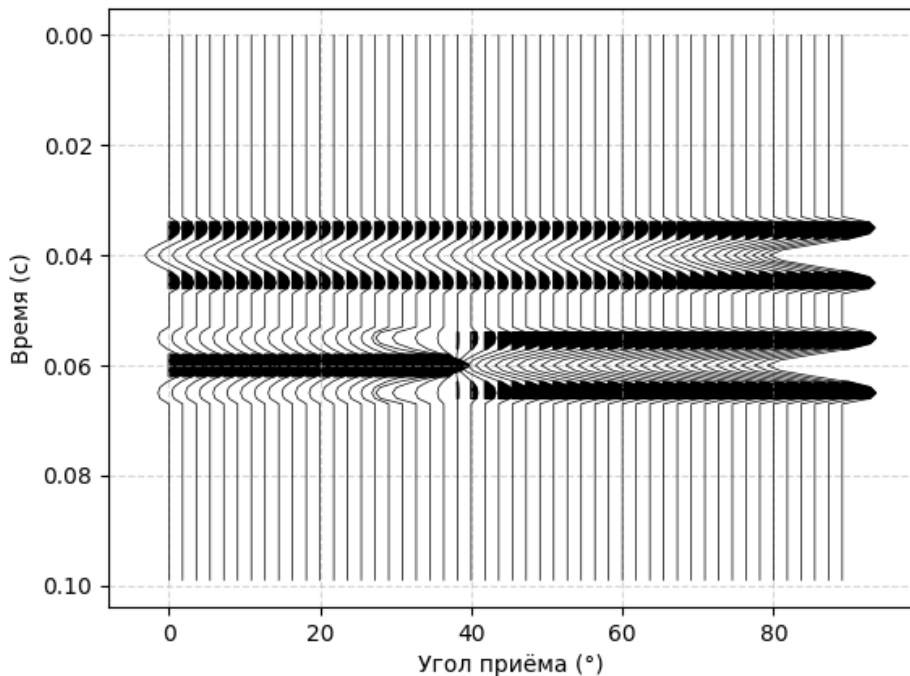


Рис. 2 Пример теоретической АВО-сейсмограммы для сейсмогеологической модели керогеносодержащего пласта доманикого типа.

Изменение параметров, указанных выше, уверенно проявилось и на масштабе наземных сейсмических исследований, что подтвердило тезис, о важной роли керогена в формировании эффективных упругих свойств отложений доманикого типа.

**Третья глава** развивает вторую главу и посвящена методике и результатам петроупругого моделирования керогеносодержащей породы с трещинами, заполненными нефтью, как следствие созревания керогена. Степень созревания керогена – параметр, представляющий большой промысловый интерес во время поиска и эксплуатации месторождений керогеносодержащих пород. При построении базовых моделей, степень созревания моделировалась путем внедрения изометрических пор, насыщенных флюидом, в кероген, то есть, увеличение насыщенной пористости керогена. Однако, увеличение изометрической пористости присуще поздним стадиям катагенеза керогена (МК3-МК4). В начале формируются неизометрические пустоты, которые в рамках этой докторской работы будем называть трещинной пористостью. Ориентированная трещинная пористость может вызывать анизотропию упругих свойств изучаемых отложений, что не редко встречается на практике. Именно поэтому добавление в базовые петроупругие модели керогеносодержащих пород доманикого типа трещинной пористости важный исследовательский этап.

Моделирование проводилось в два этапа: первый этап – построение границ Хашина-Штрикмана, второй – петроупругое моделирование с учетом геометрии включений: методом самосогласования Берримана с учетом параметра связности включений [Berezina, Bayuk 2022] для изотропных пород (случай хаотических трещин) и методом Хадсона [1980, 1981], с последующим насыщением трещин нефтью по методу Брауна-Корринга [Brown and Korringa, 1975] для анизотропной среды (случай ориентированных трещин). Данный вариант метода Берримана является аналогом подхода, применяемого в методе обобщенного сингулярного приближения (ОСП) для явного учета степени связности компонент.

При построении границ Хашина-Штрикмана были сделаны некоторые методологические выводы относительно различных подходов к определению границ, а именно представление эффективной среды, как смеси двух типов включений или смеси включений множества компонент. Важный методологический вывод заключается в том, что разница между представлением среды как смеси 2-х компонент или  $N$  компонент не существенна.

Метод Хашина-Штрикмана даёт слишком широкий диапазон для значений упругих модулей, в силу чего нельзя ограничиваться использованием только этого метода. Например, значения верхней границы скоростей распространения эффективных упругих

волн могут быть в 2-3 раза больше значений скоростей нижней границы. При моделировании границ для породы, содержащей флюидонасыщенные трещины, - границы еще шире. Это объясняется большим контрастом упругих свойств минеральных включений и керогена, а также флюида (нефти).

Согласно результатам главы 2, необходимо выбрать метод, который учитывает геометрию включений в модели. Как показали результаты петроупругого моделирования керогеносодержащих образцов, представленные в главе 2, наиболее физичные результаты позволяет получить метод самосогласования [Berryman, 1980, 1995]. Однако, при решении данной задачи необходимо учесть фактор созревания керогена и фактор “мягкой” и “жесткой” матрицы. Можно предположить, что по мере созревания керогена образуются трещины, которые расширяются. Таким образом, можно говорить, что замкнутые трещины стремятся к объединению в общую сеть пустотного пространства в породе. Модель “мягкой” матрицы можно описать схожим образом, т.е. матрица – субстанция, которая обволакивает, заключает в себя все остальные включения. Исходя из этих предположений для петроупругого моделирования, необходимо ввести некий параметр связности для конкретного включения – трещин, заполненных флюидом, или керогена. Параметр связности включений, очевидно, должен влиять на эффективные упругие свойства, помимо их (включений) геометрических свойств.

В отличие от метода самосогласования, который учитывает связность включений косвенно, метод обобщенного сигулярного приближения (ОСП) позволяет учесть степень связности включений в явном виде, путем введения специального параметра. Выбор тела сравнения в методе ОСП диктуется особенностями внутреннего строения породы [Баюк, 2013], которые отражаются в выборе, так называемого, тела сравнения (ТС), играющего роль вмещающей матрицы для всех включений породы при построении решения для эффективных свойств. Если связаны между собой все включения самой жесткой компоненты, то она и выбирается в качестве тела сравнения. А если самой мягкой – то в качестве ТС выбирается она. При этом в случае изометричной формы всех компонент, слагающих породу, будут получены верхняя и нижняя границы Хашина-Штрикмана. Однако, могут встречаться и ситуации, когда в породе присутствуют одновременно и связанные и изолированные включения какого-либо (или каких-либо) компонента (компонент). В этом случае можно выбрать свойства ТС в виде линейной комбинации свойств компонент, в которую введен некий параметр, контролирующий эту связность. Вариант метода ОСП (с параметром явного учета связности компонент), основанный на формулах Кастера-Токсоза, рассмотрен в работе [Berezina, Bayuk, 2022] и применен в настоящем исследовании. Модули упругости тела сравнения  $K^C$  и  $\mu^C$  можно представить в

виде линейной комбинации самой “мягкой” (с наименьшими модулями упругости) и “жесткой” (с наибольшими модулями) компонент в виде:

$$K^C = (1 - f)K_{max} + fK_{min} \quad (2)$$

$$\mu^C = (1 - f)\mu_{max} + f\mu_{min} \quad (3)$$

Таким образом определённый параметр  $f$ , принимающий значения от 0 до 1, косвенно отражает связность жесткой компоненты. Важно отметить, что для данного метода “мягкая” компонента распределена равномерно, в противном случае, это приведет к неоднородности породы, и методы теории эффективных сред будут неприменимы.

В рамках данной модели трещины, образовавшиеся в результате созревания керогена, находятся на контакте керогена и минеральных включений. В терминах петроупругого моделирования можно сказать, что трещины находятся в породе и считаются отдельным включением. Случай нахождения трещин в самом керогене в данном исследовании не рассматривается.

В данной главе приводятся результаты чувствительности построенной петроупругой модели к ее параметрам. В качестве параметров исследовались следующие характеристики: объемное содержание трещин (параметр трещинной пористости), объемная доля содержания керогена, пористость керогена и степень его связности, физические свойства флюида, заполняющего трещины, значение аспектного отношения для включений керогена и трещин, заполненных флюидом.

В качестве примера на рис. 3 показаны результаты такого исследования – влияние на скорости упругих волн степени связности керогена, которая характеризуется  $f$ -параметром, для различных значений объемного содержания керогена в породе.

По результатам моделирования методом самосогласования, с учетом связности включений, можно сделать следующие основные выводы. Наиболее существенно на эффективные упругие свойства среды влияют такие факторы как объемное содержание трещин и керогена. Пористость керогена влияет не так сильно, однако, когда кероген становится матрицей, влияние этого фактора больше ощущается для продольных волн ( $V_p$ ), чем для поперечных ( $V_s$ ).

Созревание керогена сложный физико-химический процесс в ходе которого меняются Р-Т условия. Учет изменения физических свойств генерируемой нефти был осуществлен с целью косвенно определить по свойствам флюида степень зрелости керогена. Свойства флюида меняются, но не значительно. Этот параметр практически не отражался в изменении эффективных упругих свойств керогеносодержащей породы во времени петроупругого моделирования.

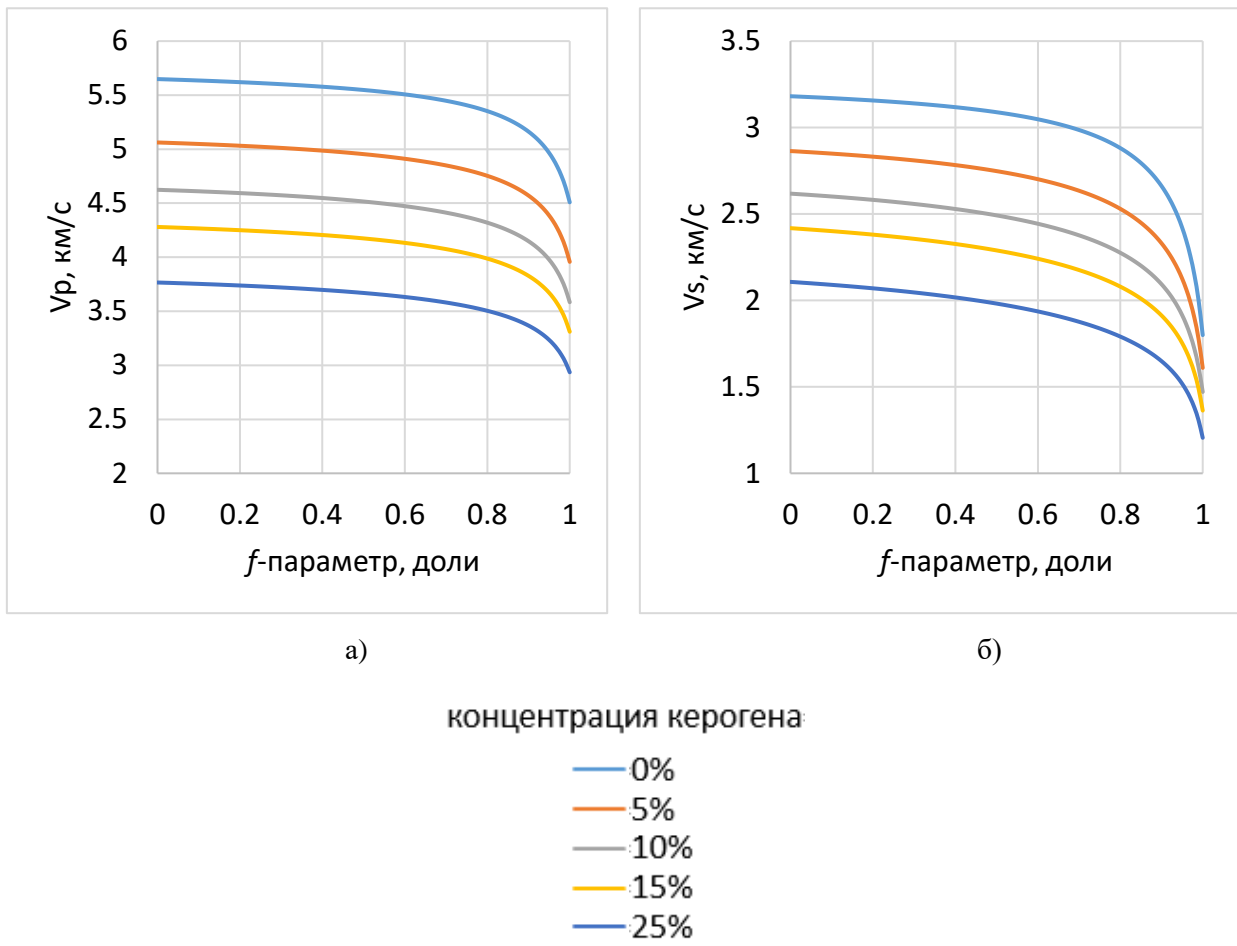


Рис. 3 Параметрические зависимости эффективных скоростей упругих волн от значения *f*-параметра, параметр – объемное содержание керогена в породе (а –  $V_p$ , б –  $V_s$ , “мягкая” компонента – кероген).

Базовые модели, описанные выше, применимы для изотропных пород. Однако одна из причин возникновения анизотропии упругих эффективных свойств – наличие упорядоченной трещинной пористости. Согласно геологическому описанию пород доманиковой формации, их можно отнести к тонкослоистым сланцевидным горным породам, которые, как правило, представляют собой трансверсально изотропную среду с вертикальной осью симметрии (VTI). Для определения эффективных упругих свойств такой VTI среды в данной работе был использован Хадсон [Hudson, 1980, 1981], который основан на теории рассеяния упругого поля в изотропной упругой среде с тонкими эллипсоидальными трещинами.

В данном исследовании предполагалось, что трещины заполнены жидким флюидом – нефтью, которая образовалась в результате созревания керогена. Для насыщения “сухих” трещин по Хадсону использовался метод Гассмана (анизотропный вариант) [Gassmann, 1951]. На рисунке 4 показаны индикатрисы эффективных скоростей упругих волн в анизотропной флюидонасыщенной керогеносодержащей породе, рассчитанные по

результатам петроупрого моделирования методом Хадсона с последующим флюидозамещением по методу Гассмана. На каждом рисунке представлены три типа графиков для скоростей продольной волны и для двух поперечных волн. Для аспектного отношения  $10^4$  верхний предел параметра трещинной пористости - 0,018%, что соответствует значению плотности трещин 0,43, которая определяется по формуле  $\varepsilon = 3\varphi/4\pi\alpha$ , где  $\varphi$  – трещинная пористость,  $\alpha$  – значение аспектного отношения трещин. Метод Хадсона с насыщением по методу Гассмана показал значительную анизотропию эффективных скоростей упругих волн.

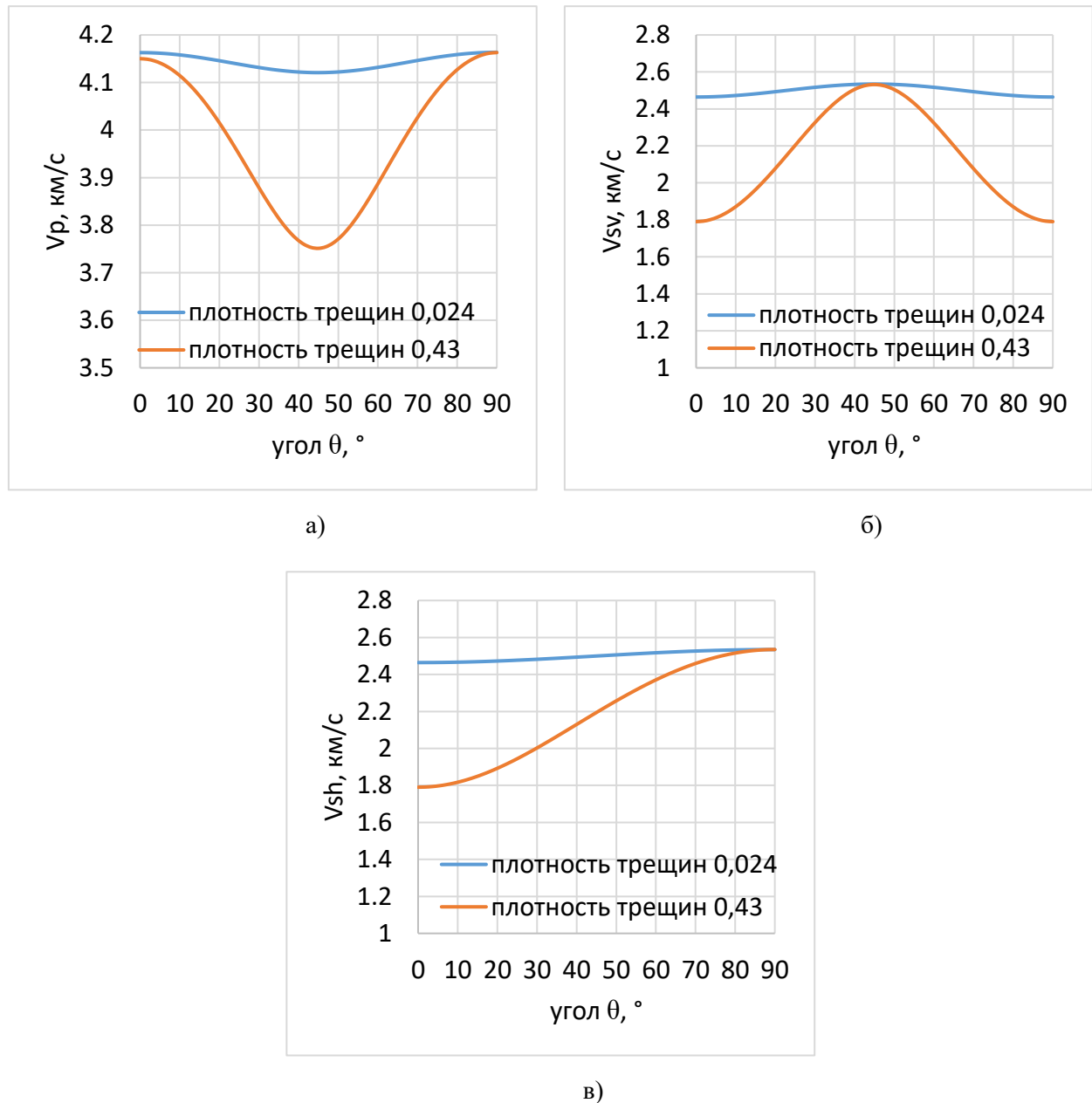


Рис. 4 Индикатрисы эффективных скоростей упругих волн в анизотропной флюидонасыщенной керогенсодержащей породе в зависимости угла между направлением

распространения упругой волны и осью симметрии, аспектное отношение трещин  $10^{-4}$  ( $a - V_p$ ,  $b - V_{sv}$ ,  $v - V_{sh}$ ). Угол отсчитывается от вертикальной оси.

Совокупный результат второй и третье главы – оценка влияния основных литологических особенностей состава и строения керогеносодержащих отложений доманикого типа, обосновывает следующее **защищаемое положение**: “*Содержание керогена в породе, его пористость, степень связности керогена, степень связности пустот являются факторами, существенно влияющими на эффективные упругие свойства доманиковых отложений*”.

**Глава 4** посвящена построению разномасштабных петроупругих моделей пород доманиковой формации. Полученные данные моделируют природные свойства пород доманиковой формации. Моделирование на данном масштабе можно отнести к масштабу скважинных измерений. Для расчета использовались четыре модели, которые состояли из множества статистически однородно перемешанных прослоев жесткой изотропной карбонатной породы и прослоев керогеносодержащих пород. Каждая модель отличалась строением керогеносодержащих слоев. Далее, говоря о моделях, будем иметь в виду свойства пласта, богатого органическим веществом. Расчет эффективных упругих свойств проводился методом Бейкуса [Backus, 1962].

Первая модель – в качестве прослоя керогеносодержащей породы взят изотропный пористый кероген. Данная модель была выбрана как самая простая, которая иногда используется на практике, особенно, когда содержание керогена весьма незначительно.

Во второй модели предполагалось, что в прослоях керогеносодержащих пород кероген является включением наряду с другими минералами и хаотически ориентированными трещинами. В рамках этой модели было исследовано влияние основных литологических характеристик на эффективные упругие свойства. Установлено, что параметр трещинной пористости и содержание керогена вносят гораздо больший вклад в анизотропию скоростей упругих волн, чем параметр связности включений керогена  $f$ . Он начинает влиять на анизотропию только при очень значениях, близких к 1, т.е. когда кероген по своей конфигурации близок к односвязной области (матрице). Однако, для параметра пористости керогена наблюдается иная закономерность. Заметное увеличение степени анизотропии обусловлено ростом параметра связности пор.

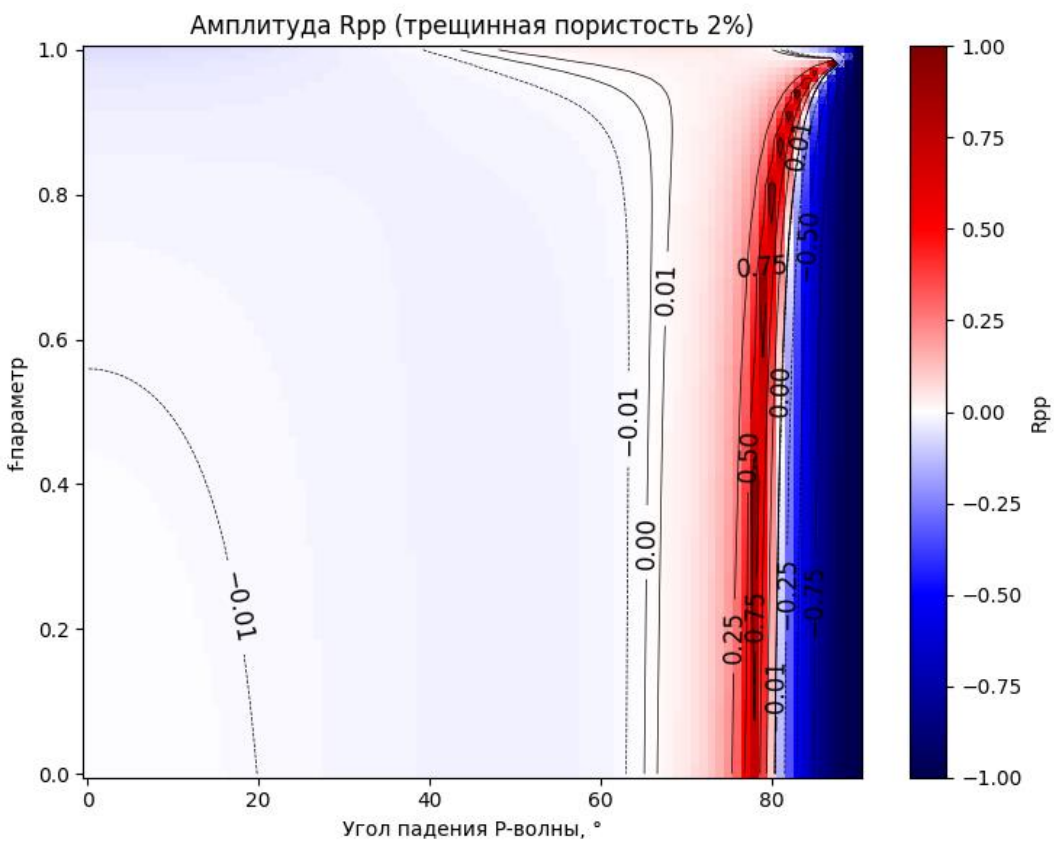
Третья модель учитывала собственную анизотропию керогеносодержащих прослоев, вызванную ориентированными трещинами. В силу ограниченной области физичности метода Хадсона параметр трещинной пористости для данной модели был очень мал – до 0,1 %. Но даже в этом случае наблюдается значимая анизотропия скоростей упругих волн.

В четвертой модели эффективный пласт, который моделировал доманиковую толщу, не являлся тонкослоистой средой, как в трех предыдущих моделях. Пласт представлял собой керогеносодержащую породу, в которую были помещены стяжения кальцита (крупные включения). Такое внутреннее строение породы иногда наблюдается для полноразмерного кернадоманиковых отложений.

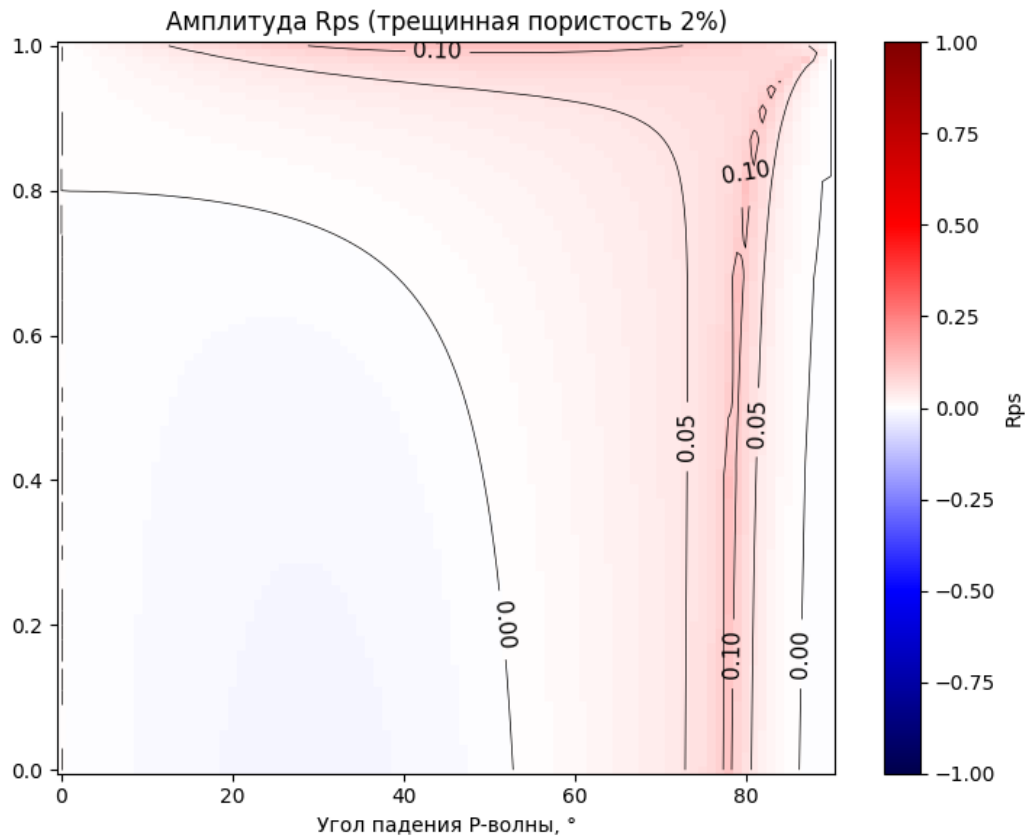
**Глава 5** посвящена расчету коэффициентов отражения для анизотропной VTI среды для простой двухслойной модели. Эта глава завершает теоретическое разномасштабное моделирование упругих свойств керогеносодержащих отложений доманикового типа. Также, как и во второй главе, посвященной базовым петроупругим моделям, была использована та же сейсмогеологическая модель, но на данном этапе упругие свойства керогеносодержащего слоя получены по результатам главы 4. Рассчитывались коэффициенты отражения продольных и обменных волн по формулам Цёппритца. По результатам расчета строились карты коэффициентов отражения и графики при фиксированных значениях параметров, участвующих в построении карт, например, значение параметра связности  $f$  или значение отношения суммарной мощности керогеносодержащих прослоев к “жестким” породам.

По сравнению с результатами, полученными во второй главе, упругие свойства потенциально-перспективного пласта стали значительно “жестче”, за счет переслаивания с прослойми изотропной карбонатной породы. Такая модель пласта отложений доманикового типа более корректна и приближена к наблюдаемому разрезу.

За счет меньшего контраста упругих свойств между двумя слоями, задача выделения зон с повышенными (по модулю) значениями коэффициентов отражения (продольных и обменных упругих волн), связанными с особенностями состава и строения керогеносодержащих пород доманикового типа, представляет большой научный и производственный интерес (рис. 5).



a)



б)

Рис. 5 Карты коэффициентов отражения продольной и обменной волны от  
керогеносодержащего слоя симметрии VTI.

Изменение значений коэффициентов отражения исследовалось в зависимости от тех же параметров состава и строения исследуемых пород, что и в третьей и четвертой главах. Для лучшей визуализации и анализа результатов также были построены изолинии значений коэффициентов отражения на картах. Особый интерес представляли карты, которые показывали зависимость значений коэффициентов отражения от параметра связности включений керогена (*модель изотропного керогеносодержащего пласта с неориентированной трещинной пористостью* в главе 4). В результате анализа карт можно заключить, что изменение параметров состава и строения исследуемых пород четче всего проявляется на картах обменных волн. Также стоит отметить, что проявление зон повышенных значений коэффициента отражения обменной волны связано со значениями параметра  $f$  очень близких к 1 на интервале углов падения упругой волны от 30 до 65 градусов. На больших углах наблюдается зона критического угла или образование головной волны.

На основании этих результатов сделаны выводы о влиянии особенностей строения и состава доманиковых отложений, рассмотренных ранее на этапах петроупругого моделирования. Эти особенности четко проявляются на масштабе сейсмических исследований. Изменение исследуемых параметров ярче всего проявляется на обменных волнах. Результаты главы 5 обосновывают важность учета особенностей состава и строения исследуемых пород, а как следствие и предложенных петроупругих моделей, так как изменение этих особенностей прямо влияет на упругое поле в масштабе наземных сейсмических исследований.

**Глава 6** посвящена разномасштабному моделированию упругих свойств доманиковых отложений на примере реальных данных. В качестве исходного материала использовались данные, полученные для скважины, пробуренной в Волго-Уральском нефтегазоносном бассейне. Основной задачей исследования в этой главе является выделение петротипов доманиковых отложений на основе данных о физических свойствах пород, полученных в результате скважинных исследований, и сопоставление полученных петротипов с известными литотипами исследуемых пород. Помимо этого, для каждого петротипа определялся фактор, оказывающий доминирующее влияние на его упругие свойства.

Для петрофизических и геофизических исследований для дифференциации различных типов пород необходимо, чтобы изучаемые породы имели контраст физических свойств, а не геологических. Например, содержание разных минералов,

имеющих схожие упругие свойства в двух рядом расположенных слоях, могут говорить о различных условиях формирования пород и могут служить основанием для проведения геологической границы. Однако для геофизических исследований эта граница будет “прозрачна”. Таким образом, необходимо связать литологические типы, которые обладают набором геологических признаков, с петротипами, обладающими набором петрофизических признаков. Результатом этого исследования будет набор литолого-петрофизических типов (ЛПТ), свойства которых можно использовать при разномасштабном моделировании и дальнейшей интерпретации полевых данных.

За основу была взята классификация из диссертации Гафуровой [Гафурова, 2018], которая выделяет 12 литотипов. Основными признаками является минеральный состав, а именно, литотип выделяется по преобладанию карбонатной компоненты, кремнистой или смешанной, где доли карбонатной кремнистой и глинистой компонент примерно равнозначны (арабская цифра в названии). Литотипы делятся в зависимости от содержания органического вещества (римская цифра в названии таблицы 1). Кроме того, литотипы делятся по текстурному признаку – слоистость (литера А- неслоистый; В - слоистый) (таблица 1).

Таблица 1 Литологические типы, используемые для классификации данных ГИС.

ЛТ\сод-е, %	Карб.	Крем.	Глин.	Органическое вещество (OB)
IA1	>=50	<50	<50	<=0,5
IA3	<50	<50	<50	<=0,5
IIA1, IIB1	>=50	<50	<50	От 0,5 до 5
IIB2	<50	>=50	<50	От 0,5 до 5
IIA3, IIB3	<50	<50	<50	От 0,5 до 5
III B1	>=50	<50	<50	От 5 до 25
III B2	<50	>=50	<50	От 5 до 25
III B3	<50	<50	<50	От 5 до 25
IVB3	<50	<50	<50	>25

Несмотря на то, что за основу была взята классификация Гафуровой, границы для компонент были несколько расширены. Это связано, прежде всего, с тем, что в работе Гафуровой даются количественные оценки минеральных компонент для коллекции образцов, в то время как материалом для настоящего исследования является только информация ГИС из одной скважины. Более того, для некоторых литотипов границы

определенены очень «жестко», например, содержание глинистой компоненты ограничивается с точностью до 1 процента. Если литотип смешанного состава имеет содержание глинистой фракции больше или меньше на 1 %, тогда он не попадет в нужный литотип, что неверно. Таким образом, таблица 1 делит породы по содержанию ОВ (I -  $\leq 0.5$  % ОВ, II - от 0,5 до 5 % ОВ; III – от 5 до 25 % ОВ; IV – больше 25 % ОВ) и по главной минеральной компоненте: на карбонатный литотип (1), где содержание карбонатной составляющей больше 50 %, а остальные компоненты имеют объемную долю меньше 50 %; кремнистый (2), где содержание кремнистой составляющей больше 50 %, а остальные компоненты имеют объемную долю меньше 50% и смешанный литотип (3), где каждая из главных компонент (карбонатная, кремнистая, глинистая) имеют объемную долю меньше 50 %.

Исходя из классификации, возникает вопрос как разделить слоистые и неслоистые литотипы ПА1 и ПВ1, а также ПА3 и ПВ3.

Слоистость может вызывать анизотропию упругих свойств, и, как следствие, анизотропию скоростей упругих волн. Разделение на слоистые и неслоистые литотипы для глубин скважины, имеющих одинаковый минеральный состав, необходимо проводить по скоростям поперечных упругих волн, так как для поперечных волн слоистость будет занижать скорости в направлении, перпендикулярном слоистости. Для продольных волн это утверждение не всегда верно. Данные выводы получены в настоящей работе на основе анализа точного решения Бейкуса для эффективного тензора упругости тонкослоистой среды.

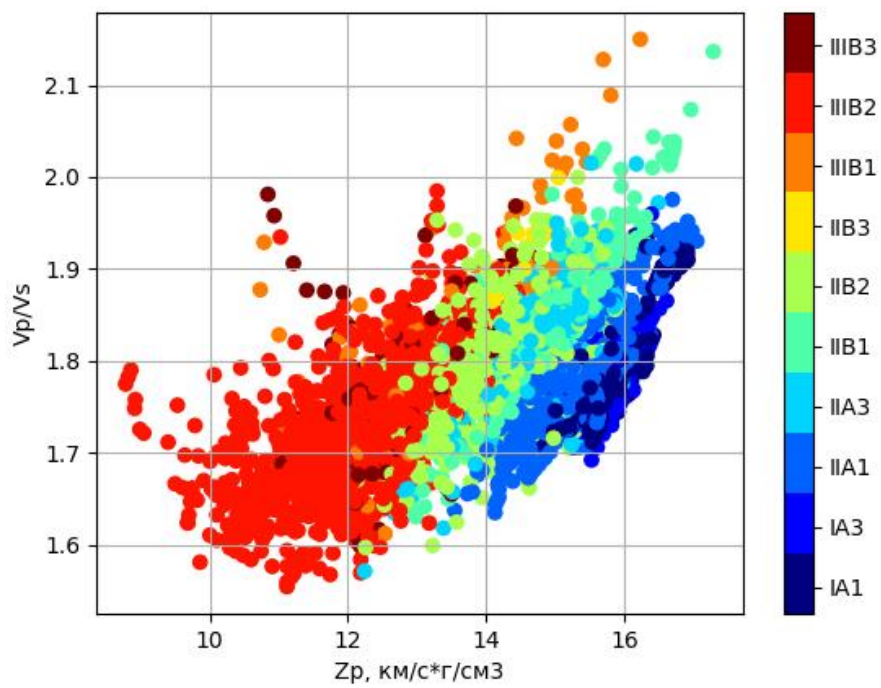
Скважинные данные, разделенные на литотипы (рис. 6а), объединились в пять петротипов (пять групп с отличающимися упругими свойствами). Эти литотипы различаются, прежде всего, по содержанию органического вещества (ОВ): высокоуглеродистый петротип (литотипы ПВ3, ПВ2, ПВ1); кремнистый петротип с повышенным содержанием ОВ (литотипы ПВ3, ПВ2); карбонатный петротип с повышенным содержанием ОВ (литотипы ПВ1); петротип смешанного состава с повышенным содержанием ОВ (литотипы ПА3); карбонатный петротип с низким содержанием ОВ (литотипы ПА1, IA1, IA3) (рис. 6б). Объединение литотипов в петротипы подробнее представлено в таблице 2.

Проводить петроупругое моделирование на исследуемом интервале скважины корректнее, именно, для петротипов, так как предложенные петроупругие модели зависят от параметров, влияющих на упругие свойства. Получившиеся пять птеротипов можно разделить на две группы: изотропные (неслоистые) и анизотропные (слоистые).

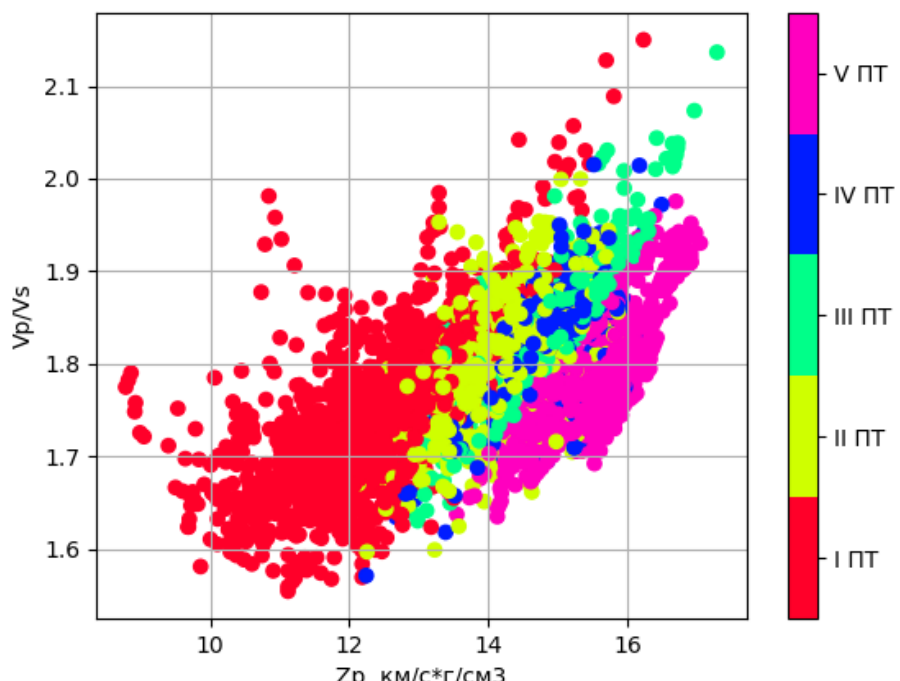
Изотропную модель можно отнести к типу “матрица-включения”[Berryman, 1995]. Для расчета эффективных упругих свойств использовался метод самосогласования (Self-consistent Approximation). Модель состояла из набора минеральных компонент и керогенасферической формы, а также двух типов пустотного пространства: изометрических и неизометрических пор, заполненных нефтью.

Анизотропная (слоистая) модель была комбинированной. В результате анализа литературных данных и фотографий керна с других месторождений, подобных этому, можно аппроксимировать слоистую модель набором статистически однородно перемешанных прослоев “жестких” карбонатных или кремнистых пород и керогеносодержащих. Модель керогеносодержащих прослоев использовалась как в случае с изотропными (неслоистыми) петротипами. Таким образом, вторая модель для анизотропных петротипов была иерархической. Первый уровень иерархии – модель изотропной керогеносодержащей породы, второй уровень – смесь прослоев “жестких” пород и “мягких” керогеносодержащих. Для второй петроупругой модели неизвестными параметрами были форма порового пространства и объемная концентрация прослоев “жестких” пород.

В результате применения петроупругого моделирования к данным ГИС получено распределение вдоль ствола скважины следующих величин: всех компонент матрицы упругости симметрии VTI, параметров Томсена ( $\epsilon$ ,  $\gamma$ ,  $\delta$ ), характеризующих анизотропию упругих свойств, и параметров микроструктуры (изометрической пористости, трещинной пористости и аспектного отношения трещин). Для этих величин для каждого петротипа также построены параметрические диаграммы рассеяния(кроссплоты)«Vp/Vs-акустический импеданс Zp» (рис. 7).



a)



б)

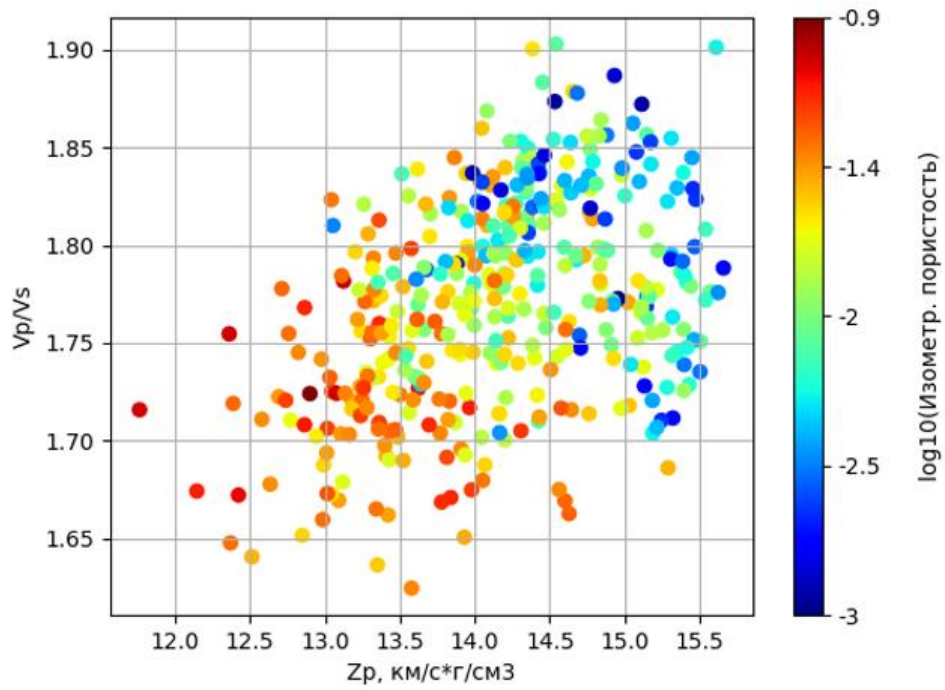
Рис. 6 Кросссплоты упругих свойств скважины с разбиением по: а – литотипам; б - петротипам.  $Z_p$  – акустический импеданс ( $Z_p = V_p * \rho$ , где  $V_p$  – продольная упругая скорость,  $\rho$  - плотность).

Таблица 2: Связь литологических типов и петрофизических, используемых для классификации данных ГИС.

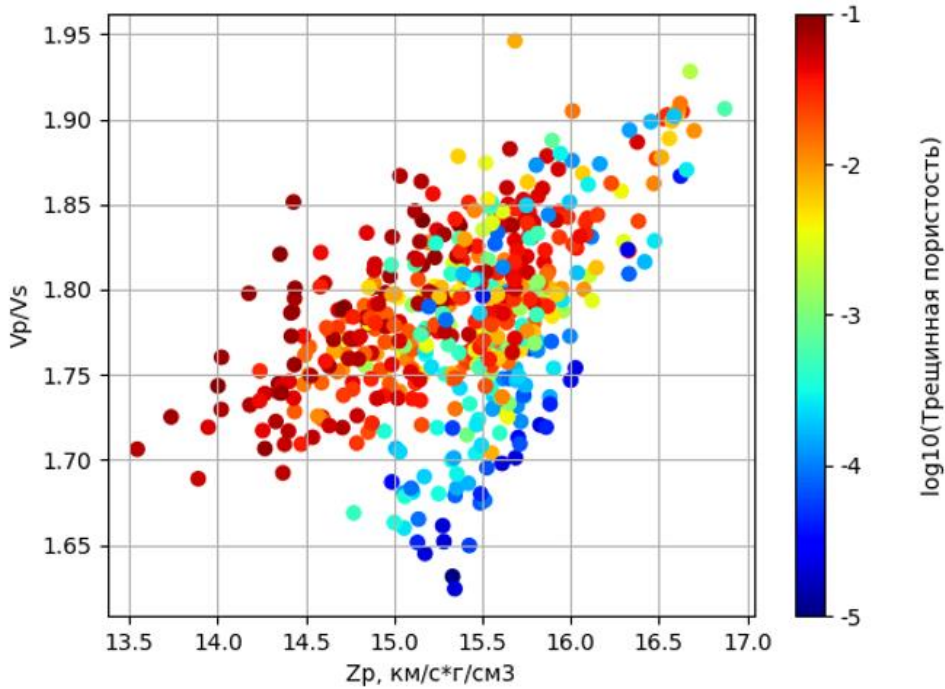
ЛТ:	Описание:	ПТ:	Описание	ПТ разделяется

				по:
IA1	Карбонатный неслоистый (изотропный) низкоуглеродистый	V	Глинисто-кремнисто-карбонатный неслоистый (изотропный) низкоуглеродистый	Объемной концентрации трещин
IA3	Смешанного состава неслоистый (изотропный) низкоуглеродистый			
IIA1	Карбонатный неслоистый (изотропный) углеродистый			
IIA3	Смешанного состава неслоистый (изотропный) углеродистый	IV	Смешанного состава неслоистый (изотропный) углеродистый	Объемной концентрации трещин
IIB1	Карбонатный слоистый (анизотропный) углеродистый	III	Карбонатный слоистый (анизотропный) углеродистый	Объемной концентрации трещин и изометрических пор
IIB2	Кремнистый слоистый (анизотропный) углеродистый	II	Глинисто-кремнистый слоистый (анизотропный) углеродистый	Объемной концентрации изометрических пор
IIB3	Смешанного состава слоистый (анизотропный) углеродистый			
IIIB1	Карбонатный слоистый (анизотропный) высокоуглеродистый	I	Высокоуглеродистый слоистый (анизотропный)	Объемной концентрации трещин
IIIB2	Кремнистый слоистый (анизотропный) высокоуглеродистый			
IIIB3	Смешанного состава слоистый (анизотропный) высокоуглеродистый			

На этом рисунке на диаграммах рассеяния цветом показан один из параметров микроструктуры, полученный по результатам петроупругого моделирования: десятичный логарифм изометрической и трещинной пористости, форма трещин. По результатам анализа кроссплотов некоторые петротипы разделялись на подгруппы в зависимости от степени влияния микроструктурных параметров на упругие свойства. Важно отметить, что факторы, оказывающие наиболее значимое влияние на упругие свойства, могут быть разными для разных петротипов.



a)



б)

Рис. 7 Кроссплоты упругих свойств разных петротипов (а – IV; б - I) с разными доминирующими факторами, влияющими на их упругие свойства (а – десятичный логарифм изометричной пористости; б – десятичный логарифм трещинной пористости).

Завершающим этапом исследования этой главы был переход от масштаба ГИС к масштабам наземных сейсмических исследований. С помощью метода Бейкуса были рассчитаны упругие свойства в скользящем окне вдоль ствола скважины. Была выбрана частота (80 Гц), соответствующая наибольшей частоте спектра данных сейсмических

исследований, которые относятся к участку исследований (скважина так же находится на этом участке) (рис. 8).

В этой главе предложена стратегия прогноза упругих свойств доманиковых отложений на различных масштабах геофизических исследований, основанная на анализе: литологических особенностей состава и строения исследуемых пород, данных ГИС. Основным инструментом прогноза являлось петроупругое моделирование методами теории эффективных сред. Благодаря данному подходу, можно прогнозировать потенциально-перспективные интервалы нефтегазоности, отличающиеся параметрами микроструктуры, например, трещинной пористостью. Переход от литотипов к петротипам – важный методологический результат, который может быть использован при количественной и качественной интерпретации сейсмических данных. Отдельным важным выводом можно считать успешное применение анизотропных моделей для слоистых сред. Анализируя результаты волнового моделирования во время AVO(AVA) анализа, четко видно, что не учет влияния анизотропии может приводить к значительным искажениям амплитуд сейсмического сигнала, особенно, на дальних углах отражения: от 20 до 40 градусов.

Совокупный результат пятой и шестой глав – расчет коэффициентов отражения для границы изотропного полупространства и модели анизотропной керогеносодержащей среды, свойства которой получены по результатам петроупругого моделирования; применение разработанных петроупругих моделей к реальным скважинным данным обосновывает следующее **защищаемое положение**: “Разработанные иерархические петроупругие модели пород доманиковой формации позволяют определять по данным геофизических исследований скважин и AVO-анализа данных сейморазведки такие параметры, как: содержание керогена в породе, его пористость и степень связности.”

Результат четвертой главы – построение модели слоистых сред на масштабе ГИС и оценка анизотропии, вызванной прослаиванием “жестких” пород и “мягких” керогеносодержащих, а также направленной трещинной пористости, вместе с результатами пятой и шестой глав обосновывают последнее **защищаемое положение**: “Оrientированные трещины в керогене, линзы минералов и переслаивание керогеносодержащих слоев с карбонатными породами порождают анизотропию упругих свойств доманиковых пород, определяемую методами геофизических исследований скважин и сейсмическими исследованиями.”

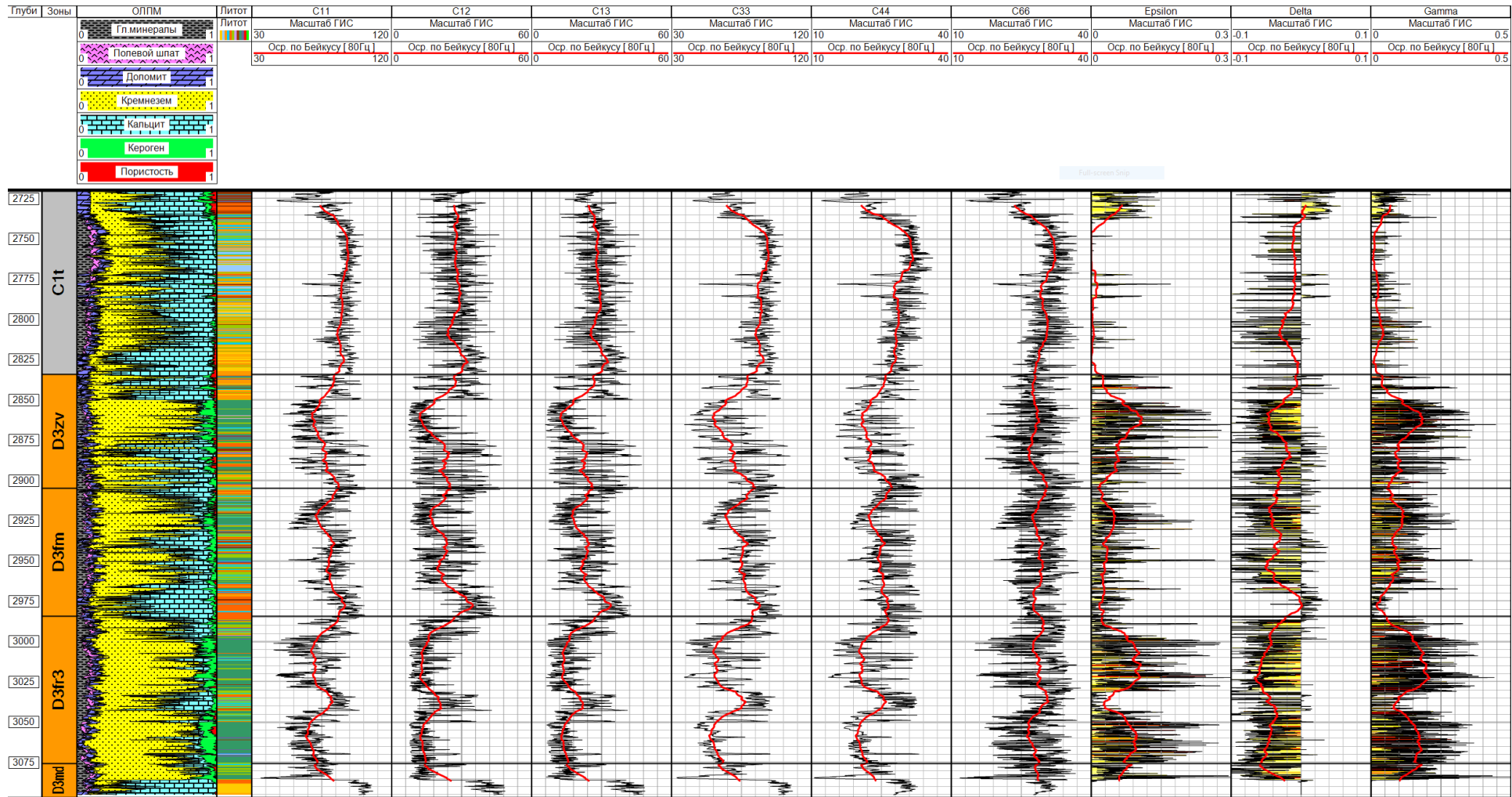


Рис. 8 Результаты разномасштабного моделирования упругих свойств и оценка анизотропии (значения параметров Томсена) на частоте 80 Гц для исследуемого интервала скважины.

## **Заключение**

Основной задачей исследования было создание разномасштабных петроупругих моделей отложений доманиковой формации с целью выявления основных факторов, влияющих на их модули упругости и скорости упругих волн. Основной особенностью данных пород является то, что они низкопористые и малопроницаемые, причем, углеводороды созревают в керогене, формируя в нем пустотное пространство и, как следствие, избыточное поровое давление, которое может влиять на свойства порозаполняющего флюида. Эти факторы обуславливают отличия петроупругого моделирования таких пород от традиционных коллекторов углеводородов.

Проведено разномасштабное исследование низкопористых и малопроницаемых горных пород, которые представляют наибольший научно-исследовательский интерес в области разведочной геофизики и геологии горючих полезных ископаемых. При разномасштабном исследовании был проведен анализ чувствительности моделей к большинству важных физических и микроструктурных параметров. Создан банк наборов петроупругих моделей с различными физическими и геологическими свойствами. Все этапы моделирования, интерпретации и визуализации полученных результатов были осуществлены полностью или частично в программах собственного авторства, написанные на языке программирования Python.

Основные результаты работы состоят в следующем.

1. Доманиковые отложения состоят из множества компонент с широким спектром упругих свойств. Кероген, входящий в состав этих пород, имеет контрастные свойства по отношению к другим компонентам. Вследствие этого содержание керогена, его пористость и вид распределения в объеме породы (в виде матрицы, включений, слоев) оказывают значительное влияние на эффективные упругие свойства. Данное утверждение обосновывается результатами петроупругого моделирования с использованием различных методов теории эффективных сред.
2. Результаты петроупругого моделирования показали, что степень связности керогена значительно влияет на эффективные упругие свойства доманиковых отложений. В некоторых случаях влияние этого фактора проявляется сильнее по сравнению с пористостью керогена. (параметр связности включений  $f>0,7$ ).
3. Моделирование доманиковых отложений как анизотропной трещиноватой среды показало, что трещинная пористость является основным фактором, влияющим на упругие эффективные свойства. Исследование параметра формы включений показало, что аспектное отношение трещин является решающим фактором для

выбора достоверной модели породы. Наличие трещинной пористости на уровне 0,02% вызывает значительную анизотропию упругих свойств.

4. Результаты моделирования эффективных упругих свойств пласта, состоящего из тонких слоев, показало, что из-за сложной внутренней структуры слоев, содержащих контрастные включения, анизотропия скоростей упругих может наблюдаться даже в масштабе сейсмических работ. Показано, что параметр связности керогена оказывает сильное влияние на анизотропию эффективных упругих скоростей.
5. При увеличении масштаба исследований уменьшается влияние на эффективные упругие свойства таких факторов как: пористость керогена, модуль сжатия нефти, степень связности керогеновых включений (если кероген не является матрицей).
6. На основе построенных петроупругих моделей решена обратная задача по определению микроструктурных параметров пород по данным геофизических исследований для скважины, пробуренной в Волго-Уральском нефтегазоносном бассейне. Получено распределение параметров Томсена, соотношения между изометричной и неизометричной пористостью и форма неизометричных пор вдоль ствола скважины, распределение линз “жестких” минералов в слоистых птеротипах. Показано, что внутри выделенных литотипов пород доманиковых отложений выделяются петротипы, характеризующиеся разной трещинной пористостью, формой пустот и толщиной минеральных прослоев.
7. Результаты данной работы позволили создать обширный набор петроупругих моделей пород доманиковой формации, который может в дальнейшем послужить представительной базой для обучения моделей искусственного интеллекта. В частности, с использованием построенных петроупругих моделей возможно построение синтетических волновых форм, апробация численных алгоритмов поиска доманиковых отложений на реальных данных с помощью имеющихся синтетических данных.

Таким образом, в работе решена задача об установлении взаимосвязей между параметрами внутреннего строения и состава пород доманиковых отложений и упругими характеристиками этих пород (как изотропными, так и анизотропными) в разных масштабах – керн, ГИС, межскважинная томография, сейсмические исследования. Решение этой задачи имеет важное научное значение, поскольку позволяет повысить достоверность интерпретации разномасштабных экспериментальных данных, полученных

для таких месторождений, и прогнозировать эти характеристики в зависимости от возможных изменений параметров в процессе поисков и разработки месторождений.

### **Список публикаций по теме диссертации**

#### *Статьи из списка ВАК:*

- Окуневич В.С. Петрофизическое моделирование пород доманиковой формации как основа интерпретации сейсмических данных / В.С. Окуневич, И.О. Баюк // Вестник Московского университета. Серия 4. Геология. — 2022. — №44). — 149–156. Окуневич В.С. Анализ синтетических AVO-сейсмограмм по результатам петроупругого моделирования пород доманиковой формации / В.С. Окуневич, И.О. Баюк // Геофизика. — 2023. — №4. — С. 8–15.

- Okunovich V.S. Effect of porosity and kerogendistribution on elastic properties of Bazhenov formation shale rocks - rockphysics modeling / A.I. Tyapkina, I.A. Berezina, G. A. Kalmykov, V.S. Okunovich, I.O. Bayuk // Сейсмические приборы. — 2025. — №1. — С. 14–35.

#### *Опубликованные материалы, тезисы, доклады на конференциях:*

- **Окуневич В.С.** Разномасштабное моделирование пород доманиковой формации / В.С. Окуневич, В.А. Зацепин, И.О. Баюк, Д.А. Данько // Наука о сланцах 25. Новые данные, г. Москва, Russia, 7-8 апреля 2025.
- **Окуневич В.С.** Разномасштабное моделирование пород доманиковой формации методом осреднения Бейкуса / В.С. Окуневич, И.О. Баюк // Петромодель / BalticPetroModel 2024. 8-я научно-практическая конференция, г. Петергоф, Russia, 4-6 сентября 2024.
- **Окуневич В.С.** Влияние развития трещин в керогене в процессе его созревания на физические свойства флюида пород доманиковой формации / В.С. Окуневич, И.О. Баюк // 66-я Всероссийская научная конференция МФТИ, секция Прикладная геофизика, 1-6 апреля 2024.
- **Окуневич В.С.** Развитие трещин в процессе созревания керогена на примере пород доманиковой формации / В.С. Окуневич, И.О. Баюк // VII Международная геолого-геофизическая конференция и выставка «ГеоЕвразия-2024. Геологоразведочные технологии - наука и бизнес», Москва, Краснопресненская набережная, 12, Центр международной торговли, Russia, 12-14 марта 2024.

- **Окуневич В.С.** Анализ синтетических АВО-сейсмограмм по результатам петроупругого моделирования пород доманиковой формации / В.С. Окуневич, И.О. Баюк// Научная конференция молодых ученых и аспирантов ИФЗ РАН, 8-9 ноября 2023.
- **Окуневич В.С.** Теоретическое моделирование синтетических АВО-сейсмограмм с использованием результатов петроупругого моделирования пород доманиковой формации / В.С. Окуневич, И.О. Баюк //Петромодель / BalticPetroModel 2023. 7-я научно-практическая конференция, г. Петергоф, Russia, 18-21 сентября 2023.
- **Окуневич В.С.** Создание сейсмогеологической модели на примере пород доманиковой формации с помощью методов теории эффективных сред / В.С. Окуневич, И.О. Баюк // Наука о сланцах 23. Новый опыт, г. Москва, Russia, 20-22 марта 2023.
- **Окуневич В.С.**Петроупругое моделирование пористого керогена / В.С. Окуневич // Научная конференция молодых ученых и аспирантов ИФЗ РАН, 9-11 ноября 2022.